

บทที่ 2

ทฤษฎีเกี่ยวกับ

2.1 พื้นฐานการตอบสนองของวัตถุต่อสนามแม่เหล็ก (Magnetic Susceptibility)

จากหลักพื้นฐานทางฟิสิกส์ที่ว่า “มวลที่มีประจุเมื่อมีการเคลื่อนที่จะทำให้เกิดสนามแม่เหล็ก” หรือ มวลที่มีประจุถ้ามีโมเมนตัมก็จะทำให้เกิดสนามแม่เหล็กได้ ความแรงของสนามแม่เหล็กนี้จะขึ้นอยู่กับขนาดของประจุและ โมเมนตัม สำหรับอิเล็กตรอนที่มีประจุลบซึ่งมีการหมุนรอบตัวเอง (spin angular momentum) และหมุนรอบนิวเคลียส (orbital angular momentum) ทำให้เกิดสนามแม่เหล็กได้เมื่อในนิวเคลียส สำหรับโมเลกุลส่วนใหญ่ ในแต่ละระดับพลังงานอิเล็กตรอนจะหมุนรอบนิวเคลียสเป็นคู่ๆ (paired electron) โดยที่อิเล็กตรอนทั้งสองตัวนี้จะอยู่ที่ระดับพลังงานเดียวกันแต่จะมีทิศในการหมุนรอบตัวเองตรงกันข้ามกัน ดังนั้นผลรวมของสนามแม่เหล็กที่เกิด จากอิเล็กตรอนทั้งสองตัวนี้จะมีการหักล้างกัน ทำให้อิเล็กตรอนแบบนี้จะมีสภาพแม่เหล็กได้เฉพาะจากการหมุนรอบนิวเคลียสเท่านั้น ในโมเลกุลบางชนิดอิเล็กตรอนสามารถอยู่เป็นแบบเดียวๆ ได้ (unpaired electron) ในสภาวะนี้การหมุนทั้งแบบรอบตัวเองและรอบนิวเคลียสจะทำให้เกิดสนามแม่เหล็กได้ โดยที่การหมุนรอบตัวเองจะมีค่าสนามแม่เหล็กสูงกว่า การหมุนรอบนิวเคลียส

โมเมนตัมแม่เหล็ก (Magnetic moment, μ) มีค่าแปรเป็นส่วนกลับกับนำหนักของมวลนั้น โดยปกตินิวเคลียสขนาดเล็ก เช่น โปรตอนมีนำหนักเป็นสามเท่าของอิเล็กตรอนดังนั้นจะเห็นว่า อิเล็กตรอนมีการตอบสนองต่อสนามแม่เหล็กภายนอกได้มากกว่านิวเคลียส ดังนั้นการตอบสนองต่อสนามแม่เหล็กภายนอกของโมเลกุลส่วนใหญ่แล้วจะมาจากการอิเล็กตรอนไม่ใช่จากนิวเคลียส ค่าการตอบสนองของวัตถุต่อสนามแม่เหล็กเรียกว่า magnetic susceptibility (susceptibility) ซึ่งมีนิยามเท่ากับอัตราส่วนของสภาพแม่เหล็กของวัตถุต่อสนามแม่เหล็กที่วัตถุได้รับ ดังนั้นค่า susceptibility จึงขึ้นอยู่กับลักษณะการจัดเรียงตัวและวงโคจรของอิเล็กตรอนในโมเลกุลเป็นส่วนใหญ่ ซึ่งค่า susceptibility นี้มีผลอย่างมากต่อหลักการของเอ็มอาร์ไอ เนื่องจากแหล่งกำเนิดของสัญญาณเอ็มอาร์จะเกิดจากการตอบสนองของนิวเคลียสต่อสนามแม่เหล็ก แต่ว่าการตอบสนองของโมเลกุลต่อสนามแม่เหล็กส่วนใหญ่แล้วจะมาจากการอิเล็กตรอนไม่ใช่จากนิวเคลียส [8] ค่าการตอบสนองของวัตถุต่อสนามแม่เหล็กเรียกว่า magnetic susceptibility ของธาตุและสารประกอบอนินทรีย์ ต่างๆ แสดงในภาคผนวก ง

2.2 แบบของการตอบสนองของอิเล็กตรอนต่อสนามแม่เหล็ก (Type of magnetism)

การตอบสนองของอิเล็กตรอนต่อสนามแม่เหล็กที่ได้รับมีหลายแบบขึ้นอยู่กับการจัดเรียงตัวและวงโคจรของอิเล็กตรอนนั้น สามารถแบ่งสารต่างๆ ตามค่า susceptibility ออกได้เป็นสี่แบบ ดังแสดงไว้ในตารางที่ 1

2.2.1 ไอดอมากเนติก (Diamagnetism)

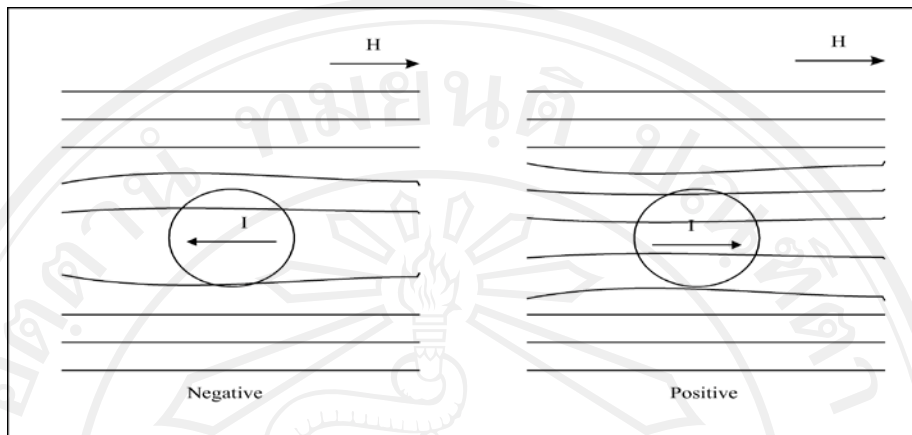
สารไอดอมากเนติกมีค่าการตอบสนองของวัตถุต่อสนามแม่เหล็ก (susceptibility) เป็นลบ ซึ่งหมายถึงสารนี้มีสภาพแม่เหล็กที่มีพิศตรงกันข้ามกับสนามแม่เหล็กภายนอกที่ได้รับ พิจารณาได้จากเส้นแรงแม่เหล็กที่มีความหนาแน่นลดลงเนื่องจากการตอบสนองทางด้านลบของสารนี้ ดังรูปที่ 1 การตอบสนองแบบไอดอมากเนติกนี้เป็นค่าลบไม่มาก ทำให้วัตถุมีการเคลื่อนที่ด้วยแรงไม่มากไปทางด้านที่มีสนามแม่เหล็กต่ำกว่าให้สนามที่มีความเข้มไม่สม่ำเสมอ

ตารางที่ 1 รูปแบบการตอบสนองต่อสนามแม่เหล็กของอิเล็กตรอน

Type of magnetism	Basis	Relative Magnetic Susceptibility	Example of Substance
Diamagnetism	Electron paired No permanent spin moment	-1	Most organic materials
Paramagnetism	Electron unpaired Non interacting permanent moments	+10	Metal chelates
Superparamagnetism	Electrons unpaired No interacting domains	+5,000	Small iron particles
Ferromagnetism	Electrons unpaired Interacting domains	+25,000	Large iron particles

สารทางชีวภาพเกือบทั้งหมดเป็นสารไอดอมากเนติกประกอบด้วยธาตุ ^{12}C และ ^1H เป็นส่วนใหญ่ ธาตุเหล่านี้มีอิเล็กตรอนอยู่เป็นคู่ทั้งในวงโคจรของชาตุหรือระหว่างพันธะของโมเลกุล เมื่ออิเล็กตรอนอยู่เป็นคู่ สนามแม่เหล็กที่เกิดจากการหมุนรอบตัวเอง (spin angular momentum) จะมีการหักด้านกันไปทำให้ไม่มีการตอบสนองต่อสนามแม่เหล็ก แต่ว่าอิเล็กตรอนที่อยู่เป็นคู่นี้ยังมีการหมุนรอบนิวเคลียส (orbital angular momentum) ซึ่งสามารถสร้างสนามแม่เหล็กค่าน้อย ๆ ในทิศ

ตรงกันข้ามกับสนามแม่เหล็กภายนอกได้ สนามแม่เหล็กที่เกิดขึ้นจากการหมุนรอบนิวเคลียสนี้เป็นผลมาจากการกระจายตัวที่ไม่สม่ำเสมอของอิเล็กตรอนในวงโคจรซึ่งเป็นผลมาจากการพันธะทางเคมี



รูปที่ 1 แสดงการตอบสนองของวัตถุต่อสนามแม่เหล็กแบบลบ (Negative) เป็นคุณสมบัติของสารแบบไดอะแมกเนติก การตอบสนองแบบบวก (Positive) เป็นคุณสมบัติของสารแบบพาราแมกเนติก, ซึ่งเปอร์พาราแมกเนติก และเพอร์โรมากเนติก (H คือสนามแม่เหล็กภายนอก และ I คือการตอบสนองต่อสนามแม่เหล็กโดยอิเล็กตรอน)

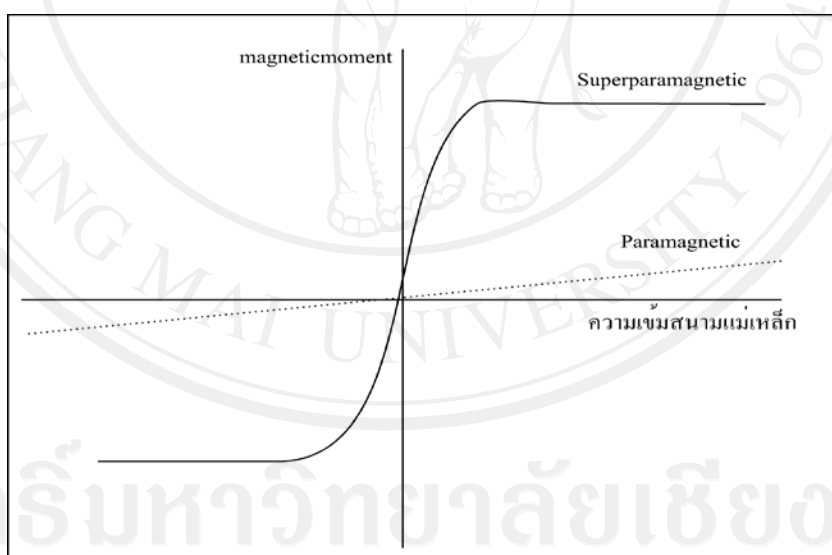
2.2.2 พาราแมกเนติก (Paramagnetism)

สารชีวภาพบางอย่างมีโครงสร้างอะตอมหรือโมเลกุลที่อิเล็กตรอนอยู่แบบเดี่ยวๆ ได้เนื่องจากสารเหล่านี้มีวงโคจรของอิเล็กตรอนที่มีระดับพลังงานใกล้เคียงกันอยู่มาก จึงทำให้อิเล็กตรอนแต่ละตัวสามารถกระจายอยู่ในแต่ละวงโคจรได้ เช่น ธาตุเหล็กซึ่งอยู่ในรูปเฟอร์รัส (*ferrous, Fe²⁺*) และ เพอร์ริกออกซิเดชัน (*ferric oxidation*) ซึ่งเป็นส่วนประกอบสำคัญในเม็ดเลือดแดง ดังแสดงไว้ในตารางที่ 2 อิเล็กตรอนที่อยู่แบบเดี่ยวๆ นี้มีโมเมนตัมเชิงมุมของสปิน (*spin angular momentum*) ทำให้เกิดสภาพแม่เหล็กได้ซึ่งต่างจากสารไดอะแมกเนติกที่สภาพแม่เหล็กนี้มีการหักล้างกันหมด ในอุณหภูมิปกติของสิ่งมีชีวิตอิเล็กตรอนที่มีการจัดเรียงตัวในแนวเดียวกับสนามแม่เหล็กภายนอกมากกว่าในทิศตรงกันข้าม จึงทำให้สภาพแม่เหล็กที่เกิดขึ้นมีทิศทางเดียวกับสนามแม่เหล็กภายนอก ซึ่งก็คือค่า susceptibility เป็นบวก สารที่มีอิเล็กตรอนอยู่แบบเดี่ยวๆ นี้ สภาพแม่เหล็กหมดไปเมื่อหยุดให้สนามแม่เหล็กภายนอก เรียกว่า สารพาราแมกเนติก เช่น gadolinium ซึ่งใช้เป็นสารเปรียบต่างสำหรับสร้างภาพเอ็มอาร์ (MRI contrast agent) สารพาราแมกเนติกจะมีค่า susceptibility ที่แปรต่างกับค่าความแรงของสนามแม่เหล็กและไม่มีการอิ่มตัว ดังรูปที่ 2 สารอีกประเภทหนึ่งที่คล้ายกับสารพาราแมกเนติกคือสารซึ่งเปอร์พาราแมกเนติกซึ่งมีค่า

susceptibility ที่สูงกว่าและแปรตระกับค่าความแรงของสนามแม่เหล็กเฉพาะที่ค่าสนามแม่เหล็กต่ำๆ เท่านั้นและจะมีการตอบสนองแบบอิมตัวที่ค่าสนามแม่เหล็กที่สูงขึ้น

ตารางที่ 2 จำนวนของอิเล็กตรอนที่อยู่แบบเดี่ยวๆ ของอนุภาคแบบโลหะทรานซิชัน (Transition metal) และ โลหะแลนทาไนด์ (Lanthanide metal)

Ion	จำนวนของอิเล็กตรอนที่อยู่แบบเดี่ยวๆ
Transition Metal Ions	
Chromium (III)	3
Iron (II) (high spin)	4
Manganese (II), Iron (III)	5
Lanthanide Metal Ions	
Praseodymium (III)	2
Gadolinium (III)	7
Dysprosium (II)	5



รูปที่ 2 แสดงความสัมพันธ์ระหว่างความเข้มสนามแม่เหล็กและสนามแม่เหล็กที่เกิดจากการตอบสนองของอิเล็กตรอนสำหรับสารพาราแมกнетิกและชูเปอร์พาราแมกเนติก

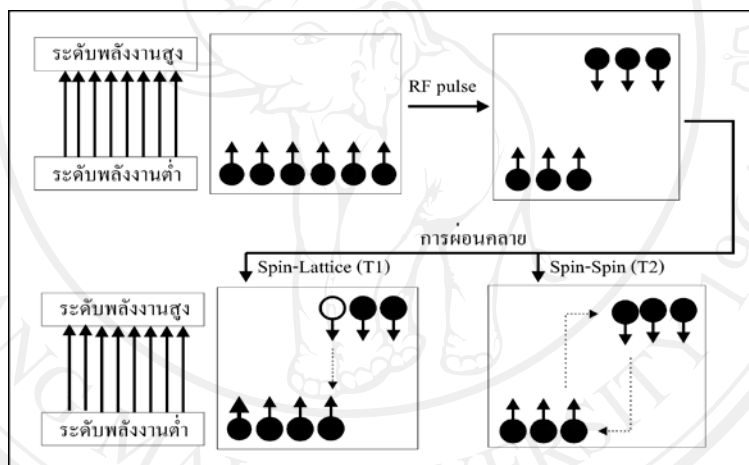
2.2.3 เฟอร์โรแมกเนติก (Ferromagnetism)

ถ้ากลุ่มของอิเล็กตรอนที่อยู่แบบเดี่ยวๆ สามารถจัดเรียงตัวอยู่ในโอดเมนได้ก็จะทำให้มีการทำปฏิกิริยากับโอดเมนในบริเวณใกล้เคียงได้ เพื่อที่จะลดผลของสนามแม่เหล็กภายนอกเมื่อออยู่ในสนาม แม่เหล็กความเข้มสูงโอดเมนเหล่านี้ก็จะมีการจัดเรียงตัวเทียบกับสนามแม่เหล็กและเทียบกับ

โดยเมื่อรับข้างทำให้ผลการตอบสนองต่อสนามแม่เหล็กมีค่าสูงขึ้นมาก สารที่มีคุณสมบัตินี้เรียกว่า เฟอร์โรแมกнетิก ผลของสารเหล่านี้ต่อหลักการเริ่มอาร์โฉดมีอยู่สูงมากเมื่อเทียบกับสารแบบ พาราแมกเนติก เนื่องจากสารเฟอร์โรแมกเนติกมีค่า susceptibility ที่สูง สามารถดำเนงสภาพความ เป็นแม่เหล็กอยู่ได้ถึงแม้จะไม่มีสนามแม่เหล็กภายนอก

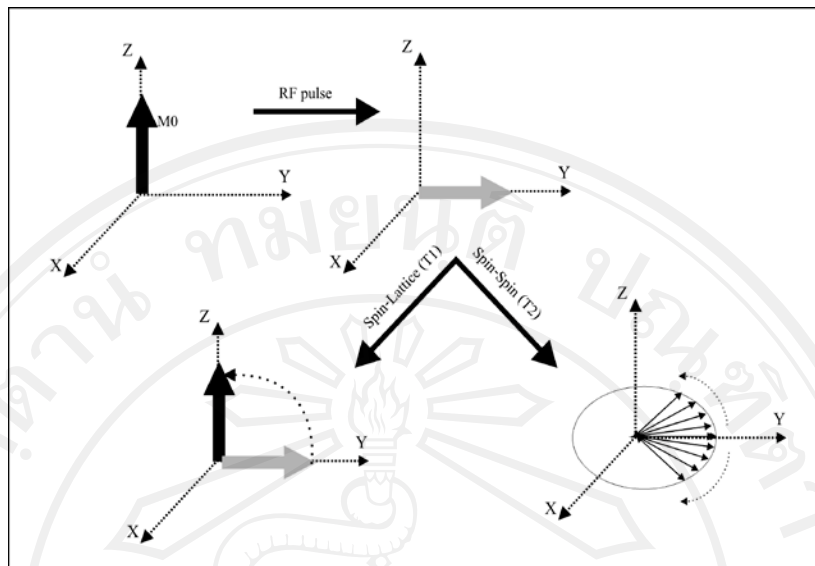
2.3 การผ่อนคลาย (Relaxation time) ภายใต้เครื่องเริ่มอาร์โฉด

หลังจากหยุดกระตุ้นด้วยพัลส์ความถี่วิทยุ (RF pulse) โปรตอนจะมีการกลับเข้าสู่สภาวะ สมดุลอีกครั้งหนึ่งซึ่งในขั้นตอนนี้โปรตอนนั้นจะมีการคายพลังงานสู่สิ่งแวดล้อมและแลกเปลี่ยน พลังงานระหว่างโปรตอนนั้นกับนิวเคลียสอื่น ขบวนการทั้งสองนี้เรียกว่าการผ่อนคลายแบบสpin แลตทิช (spin-lattice, T1) และ สpin-spin (spin-spin, T2) ตามลำดับ ดังแสดงในรูปที่ 3



รูปที่ 3 แสดงการตอบสนองของโปรตอนต่อการกระตุ้นด้วย RF pulse ซึ่งมีขบวนการผ่อนคลาย สองแบบ คือ แบบที่มีการคายพลังงานสpin แลตทิช (T1) และแบบที่มีการแลกเปลี่ยนพลังงาน ระหว่างกันสpin สpin (T2) ซึ่งเกิดขึ้นขณะเดียวกัน

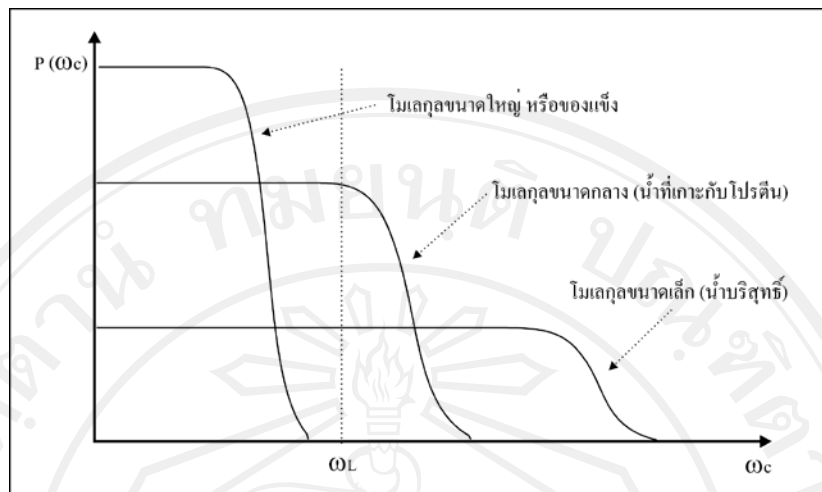
ในระหว่างขั้นตอนการผ่อนคลายของทั้งสองแบบนี้ ทั้งแมกเนติกเชชั่น (magnetization) ในแนวเดียวกับสนามแม่เหล็กหลัก (M_z) และในระนาบที่ตั้งฉากกับสนามแม่เหล็กหลัก (M_{xy}) จะ มีการกลับเข้าสู่สภาวะสมดุล ดังรูปที่ 4 นั่นก็คือการหมุนคงของแมกเนติกเชชั่นที่มีการรวมไฟส์ กันก็จะกลับสู่สภาพแบบสูม ($M_{xy} = 0$) และ M_z ที่ลดลงก็จะมีการเพิ่มขึ้นจนกลับคืนสู่ค่า M_0 โดย ที่ M_0 นี้เป็นสัดส่วนของความหนาแน่นของโปรตอน ณ ตำแหน่งนั้น สำหรับการเพิ่มขึ้นของ M_z และการลดลงของ M_{xy} นี้จะเป็นแบบเอ็กโพเนนเชียล (exponential) ด้วยค่าเวลาของการผ่อน คลาย T_1 และ T_2 ตามลำดับ



รูปที่ 4 แสดงการตอบสนองของแม่กnen ไฟเซชั่นต่อการกระตุ้นด้วย RF pulse ซึ่งมีขั้นตอนการผ่อนคลายสองแบบ คือ แบบที่มีการหายพลังงานสปินแลตทิช (T1) และแบบที่มีการแลกเปลี่ยนพลังงานระหว่างกันสปินสปิน (T2)

2.3.1 กลไกของการผ่อนคลาย (Mechanism of relaxation) ภายใต้เครื่องอัมมาร์ไอ

การผ่อนคลายแบบ T1 (หายพลังงานสู่สิ่งแวดล้อม) จะขึ้นอยู่กับขนาดและสถานะของโมเลกุลและความเข้มของสนามแม่เหล็กหลัก ขณะที่การผ่อนคลายแบบ T2 (แลกเปลี่ยนพลังงานระหว่างกัน) จะขึ้นอยู่โอกาสที่ proton จะมีการชนกับ proton ตัวอื่นหรือถูก รบกวนโดยสนามแม่เหล็กหลังจากสาร เช่น น้ำ หรือ เนื้อเยื่อ เมื่อถูกนำไปว่างไว้ในสนามแม่เหล็ก ในสภาวะสมดุลจะ มีแม่กnen ไฟเซชั่นในแนวเดียวกับสนามแม่เหล็กนั้น ในการที่จะศึกษาถึงคุณสมบัติของสาร เช่น ขนาดของโมเลกุล หรือ สภาพของสนามแม่เหล็กในแต่ละทิศทาง ต้องมีการกระตุ้นแม่กnen ไฟเซชั่นให้ออกจากสภาวะสมดุล แล้วจึงคุณถึงพฤติกรรมในการกลับคืนสู่สภาวะสมดุลอีกครั้งหลังจากหยุดการกระตุ้น ซึ่งในอัมมาร์ไอ ใช้ RF pulse ในการกระตุ้นแม่กnen ไฟเซชั่น



รูปที่ 5 แสดงสัดส่วนของจำนวน โนเมเลกุล $P(\omega_c)$ ทึ้งสามแบบ ไมเลกุลขนาดใหญ่ ขนาดกลาง และขนาดเล็ก ต่อความถี่ในการเคลื่อนไหวของ โนเมเลกุล ω_c และ ความถี่ในการกำหนด ω_L

ในระหว่างการกระตุ้นด้วย RF pulse พลังงานของคลื่นวิทยุจะถูกดูดกลืนโดยโปรตอนในแลตทิซและทำให้โปรตอนมีการหมุนคลงที่มีเฟสเดียวกัน หลังจากหยุดกระตุ้น โปรตอนจะมีการตอบสนองสองแบบ ดังรูปที่ 4 แบบแรกคือการคายพลังงานสู่แลตทิซ ของโปรตอนเรียกว่าพลของสปินแลตทิซหรือ T1 และแบบที่สองคือการหมุนคลงของโปรตอนจะมีการสูญเสียการร่วมเฟสกันเนื่องจากการแลกเปลี่ยนพลังงานระหว่างกันเรียกว่าพลของสปินสปินหรือ T2

ในการตอบสนองแบบสปินแลตทิซหรือ T1 โปรตอนที่ถูกกระตุ้นจากระดับพลังงานที่ต่ำสู่ระดับพลังงานที่สูงจะมีการคายพลังงานที่ได้รับนี้ออกมากหลังจากที่หยุดการกระตุ้นเพื่อกลับเข้าสู่ระดับพลังงานที่ต่ำอีกครั้ง พลังงานส่วนเกินนี้จะถูกปล่อยออกสู่แลตทิซ ซึ่งขั้นตอนนี้เป็นการข่อนกลับกับการรับพลังงานเข้ามาของโปรตอน กล่าวคือในขั้นตอนของการกระตุ้น โปรตอนจะรับพลังงานจาก RF pulse ที่มีความถี่เท่ากับการกำหนดของโปรตอนนั้น ดังนั้นในขั้นตอนการกลับเข้าสู่ระดับพลังงานที่ต่ำ โปรตอนก็จะต้องคายพลังงานที่ได้รับมาให้กับแลตทิซ โดยที่จะเกิดการคายพลังงานนี้ได้ก็ต่อเมื่อแลตทิซนั้นมีความแปรปรวนของสนามแม่เหล็ก อันเนื่องมาจากการเคลื่อนไหวของ โนเมเลกุลที่มีความถี่เท่ากับความถี่ในการกำหนดของโปรตอน

ความแปรปรวนของสนามแม่เหล็กของแลตทิซ นั้นก็มาจาก การเคลื่อนที่หรือการหมุนของนิวเคลียสในแลตทิซ ดังนั้นโอกาสที่โปรตอนจะสามารถคายพลังงานสู่แลตทิซ จึงขึ้นกับอัตราการเคลื่อนไหวของ โนเมเลกุลนั้นในแลตทิซ โดยที่โปรตอนจะมีโอกาสคายพลังงานได้ดี (มีค่า T1 ที่สั้น) ถ้าการเคลื่อนไหวนั้นสามารถสร้างความแปรปรวนของสนามแม่เหล็กได้ใกล้เคียงกับความถี่ของ การกำหนด และ โปรตอนจะมีโอกาสคายพลังงานได้ไม่ดี (มีค่า T1 ที่ยาว) ถ้าการเคลื่อนไหวนั้นเร็ว

“ไปหรือช้าไป” ยกตัวอย่าง เช่น น้ำที่เกาะกับโปรตีน มีสัดส่วนของโมเลกุลที่มี τ_c อยู่ในช่วงความถี่ของ การกำทอนในอัมาร์โอล มากกว่าในน้ำบริสุทธิ์ และในของแข็ง จึงทำให้น้ำที่เกาะกับโปรตีน มีค่า T1 ที่สั้นกว่าในน้ำบริสุทธิ์ และในของแข็ง เพราะว่า น้ำบริสุทธิ์ มี τ_c อยู่ในช่วงที่กว้าง จึงทำให้มี สัดส่วนของโมเลกุลที่ความถี่ในช่วงความถี่ของการกำทอนอยู่ในระดับที่ต่ำ ขณะที่ในของแข็ง มี ช่วงของ τ_c อยู่ในย่านที่ต่ำกว่าความถี่ในช่วงความถี่ของการกำทอน ดังนั้น จึงทำให้หันน้ำบริสุทธิ์ และของแข็ง มีโอกาสในการถ่ายพลังงานได้ไม่ดี (ต้องใช้เวลานานกว่าโมเลกุลทุกตัวจะถ่ายพลังงาน ออกมานิดหน่อย) เมื่อเทียบกับน้ำที่เกาะกับโปรตีน โดยสรุป ค่า T1 ของสารเข็นอยู่กับสัดส่วนของ โมเลกุลที่มี τ_c อยู่ในช่วงความถี่ของการกำทอนกล่าวอีกนัยหนึ่ง ค่า T1 ของสารจะเข็นอยู่กับ ขนาดและสถานะของโมเลกุลและความเข้มของสนามแม่เหล็กหลัก เพราะว่าขนาดและสถานะของ โมเลกุลจะมีความสัมพันธ์กับค่า τ_c ขณะที่ความเข้มของสนามแม่เหล็กหลัก ก็เกี่ยวข้องกับความถี่ ในการกำทอน

สำหรับการตอบสนองแบบสปินสปินหรือ T2 ซึ่งเกี่ยวข้องกับการสูญเสียการร่วมเฟสใน การหมุนของโปรตอน การตอบสนองแบบสปินสปินนี้ เป็นกระบวนการที่มีการแลกเปลี่ยนพลัง งานแต่ไม่มีการเพิ่มขึ้นหรือลดลงของพลังงาน การตอบสนองแบบสปินสปิน นี้จะมีการสูญเสียการ ร่วมเฟสตี่ที่สุดเมื่อค่า τ_c เข้าใกล้ ω หรือก็คือเมื่อ ω_c เข้าใกล้ศูนย์ (ในย่านความถี่ต่ำ) ซึ่งต่างจากการ ตอบสนองแบบ T1 ซึ่งจะมีการถ่ายเทพลังงานดีที่สุดเมื่อ ω_c เข้าใกล้ความถี่ในการกำทอน เนื่องจาก ในย่านที่ τ_c มีความถี่ต่ำ การเปลี่ยนทิศของ การเคลื่อน ไหวของโมเลกุล มีอยู่น้อยจึงทำให้ผลของการ เปลี่ยนเฟสเนื่องจากการแลกเปลี่ยนพลังงานของ โปรตอน มีอยู่มากกว่าเมื่อ โมเลกุล มีการเปลี่ยนทิศ ของการเคลื่อน ไหว ได้บ่อยซึ่งจะทำให้ผลของการเปลี่ยนเฟส มีการเคลื่อน ไปมา ให้เห็นผลของการ เปลี่ยนแปลงน้อยลง การสูญเสียการร่วมเฟสในการตอบสนองแบบ T2 นอกจากจะเข็นอยู่กับการ เคลื่อน ไหวของโมเลกุลแล้วยังเข็นอยู่กับความไม่สม่ำเสมอของสนามแม่เหล็กที่ โปรตอน ได้รับด้วย เนื่องจากความถี่ในการหมุนของโปรตอน ขึ้นอยู่กับความเข้มของสนามแม่เหล็ก ดังนั้น ถ้า สนามแม่เหล็กที่ โปรตอน ได้รับจริงแตกต่างกัน ก็จะทำให้ความถี่ในการหมุนของแต่ละตัว กัน ไปด้วย ความแตกต่างของความถี่ในการหมุนของน้ำ ก็จะทำให้เกิดการสูญเสียการร่วมเฟสได้เหมือนกัน

2.3.2 ค่าเวลาของการผ่อนคลาย T1 (T1 Relaxation time)

ค่าเวลาของการผ่อนคลาย T1 เป็นค่าเวลาคงที่ที่แสดงถึงการตอบสนองต่อการกระตุ้นแบบ สปินแอลทิซ โดยที่การผ่อนคลายแบบนี้จะอยู่ในแบบอีก โปรเณเชียล แทน ได้ด้วยสมการที่ 1

$$M_z = M_0 \left(1 - \exp^{-\frac{t}{T_1}} \right) \quad (1)$$

โดยที่ M_z คือ ส่วนของแมกเน่ไทเซชันในแนวเดียวกับสนามแม่เหล็กหลัก และ M_0 คือ แมกเน่ไทเซชันในสภาวะสมดุล สมการนี้แสดงถึงค่าเวลา $T1$ ที่ใช้ในการเข้าสู่สภาวะสมดุลของ แมกเน่ไทเซชันทั้งในกรณีที่จากสภาวะแบบสุ่มก่อนที่สารจะถูกนำเข้าสู่สนามแม่เหล็กและในกรณีที่ถูกกระตุ้นด้วย 90 องศา RF pulse โดยที่แมกเน่ไทเซชันจะมีการเพิ่มขึ้นอย่างรวดเร็วในช่วงแรกและค่อยๆ ลดลงในช่วงหลัง ๆ (exponential form) ค่า $T1$ ของแต่ละสารมีความแตกต่างกัน ดังรูปที่ 6 แสดงถึงความสัมพันธ์ระหว่างค่าเวลาของการผ่อนคลายกับค่าความถี่ในการเคลื่อนไหวของ โนมาเดกูลจากในภาพจะเห็นว่า $T1$ จะมีค่าต่ำที่สุดถ้า ω_c มีความถี่เท่ากับความถี่ของการกำทอน และค่าของ $T1$ จะมีค่ามากขึ้นเมื่อ ω_c มีความถี่ห่างจากความถี่ของการกำทอนเพิ่มขึ้น ยกตัวอย่างเช่นในของแข็งซึ่งมีค่า ω_c ต่ำกว่าความถี่ของการกำทอนมาก ค่า $T1$ จะอยู่ในช่วงเป็นนาทีหรือชั่วโมง ขณะที่น้ำบริสุทธิ์ซึ่งมีค่า ω_c สูงกว่าความถี่ของการกำทอนแต่ไม่ห่างมากเท่ากับของแข็งจะมีค่า $T1$ ประมาณ 4 วินาที

สำหรับสารชีวภาพ น้ำส่วนใหญ่จะอยู่ในรูปที่เกาะอยู่กับโนมาเดกูลขนาดกลางถึงขนาดใหญ่ ทำให้มีค่า $T1$ ที่น้อยกว่าน้ำบริสุทธิ์ ตัวอย่างเช่น น้ำหล่อเลี้ยงสมองและไขสันหลัง (cerebrospinal fluid, CSF) สำหรับโนมาเดกูลขนาดกลางเช่น น้ำที่เกาะกับโปรตีน มีความถี่ของการหมุนไกล์เคียงกับค่าความถี่ในการกำทอนมากกว่าในน้ำบริสุทธิ์จึงทำให้มีค่า $T1$ ที่สั้นกว่า (จากประมาณ 4 วินาที ในน้ำบริสุทธิ์เหลือประมาณ 0.3-0.7 วินาที) สำหรับไขมันมีค่า $T1$ ที่สั้นเนื่องจาก ของครดไขมันสายยาว (long chain) มีการหมุนรอบแกนพันธะ C-C ด้วยความถี่ไกล์เคียงกับความถี่ของการกำทอน

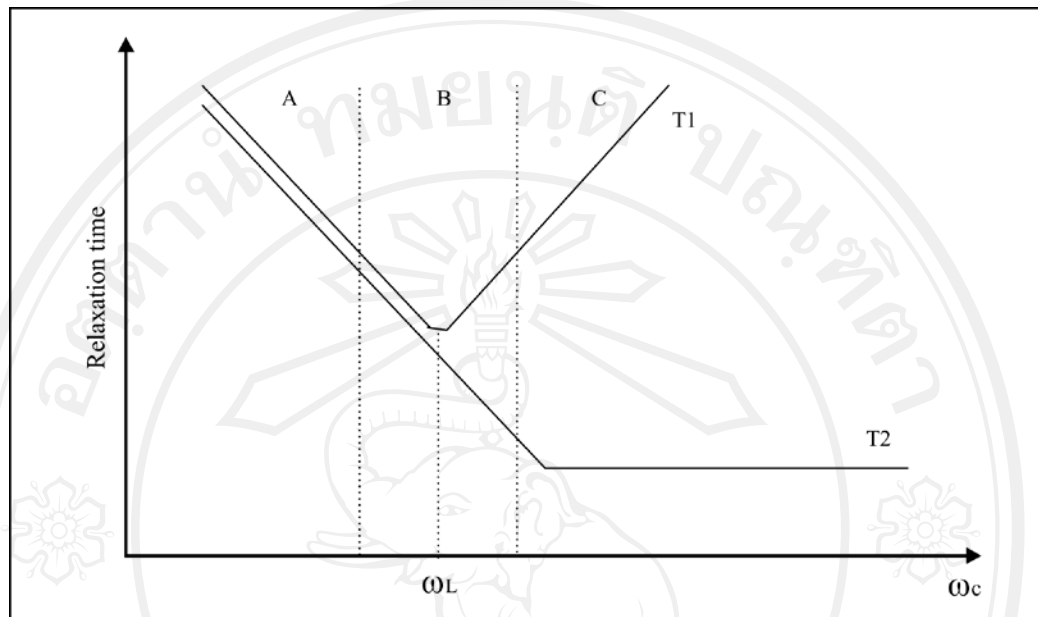
2.3.3 ค่าเวลาของการผ่อนคลาย $T2$ และ $T2^*$ ($T2$, $T2^*$ Relaxation time)

ค่าเวลาของการผ่อนคลาย $T2$ เป็นค่าเวลาคงที่ที่แสดงถึงการตอบสนองต่อการกระตุ้นแบบสปินสปิน ซึ่งแสดงถึงการสูญเสียการร่วมเฟสเนื่องจากการเคลื่อนไหวของโนมาเดกูลเท่านั้น ขณะที่ $T2^*$ แสดงถึงการสูญเสียการร่วมเฟสซึ่งเป็นผลมาจากการเคลื่อนไหวของโนมาเดกูลและความไม่สมมาตรของสนามแม่เหล็กหลักของเครื่อง MRI โดยที่การผ่อนคลายแบบนี้จะอยู่ในแบบอีกไปหนึ่ง เทียบ แทนได้ด้วยสมการที่ 2

$$M_{xy} = M_0 \exp\left(-\frac{t}{T_2}\right) \quad \text{หรือ} \quad M_{xy} = M_0 \exp\left(-\frac{t}{T_2^*}\right) \quad (2)$$

โดยที่ M_{xy} คือส่วนของแมกเน่ไทเซชัน ในระบบตั้งจากกับสนามแม่เหล็กหลัก และ M_0 คือ แมกเน่ไทเซชันในภาวะสมดุล ค่า $T2$ ของเนื้อเยื่อต่าง ๆ สำหรับค่า $T2^*$ นั้นเป็นค่าที่นอกจากจะ

ขึ้นอยู่กับชนิดของเนื้อเยื่อแล้วยังแปรเปลี่ยนขึ้นอยู่กับขนาดของความไม่สม่ำเสมอของสนามแม่เหล็กอีกด้วยจึงไม่มีค่าเฉพาะ



รูปที่ 6 แสดงผลของการเคลื่อนไหวของโมเลกุลต่อการผ่อนคลาย T_1 และ T_2 โดยที่นำบริสุทธิ์จะมีค่า T_1 และ T_2 ที่ยาว (ในย่าน A) นำที่เกากับโปรตีนจะมีค่า T_1 ที่สั้น และมีค่า T_2 ปานกลาง (ในย่าน B) สำหรับของแข็งหรือโมเลกุลขนาดใหญ่จะมีค่า T_1 ที่ยาว และ T_2 ที่สั้น (ในย่าน C)

2.4 ธาตุเหล็กในร่างกาย

2.4.1 การกระจายตัวของธาตุเหล็กในร่างกายในภาวะปกติ

เหล็ก (iron) เป็น transitional iron กล่าวคือ สามารถเปลี่ยนประจุจาก 2^+ เป็น 3^+ ได้ การที่เหล็กสามารถเปลี่ยนประจุไปมาได้มีทั้งข้อดีและข้อเสีย ข้อดีคือใช้เป็นตัวบันส่งอิเล็กตรอน ในปฏิกิริยาต่างๆ แต่ข้อเสีย คือ จะทำให้เกิดอนุมูลอิสระขึ้น (free radical) ซึ่งจะไปทำลายเซลล์ และอวัยวะต่างๆ ดังนั้นร่างกายจึงมีกลไกควบคุมปริมาณธาตุเหล็กไม่ให้มีจำนวนมากเกินไปโดย ปกติปริมาณเหล็กในร่างกายจะอยู่ในภาวะสมดุล เหล็กเป็นส่วนประกอบของฮีโมโกลบิน (hemoglobin) ไมโอโกลบิน (myoglobin) ไซโตโครม (cytochromes) และเป็นส่วนประกอบของ เอ็นไซม์ (enzyme) เช่น catalase peroxidase รวมไปถึงเป็นส่วนประกอบของโปรตีนที่อยู่ใน เชลล์ เช่น เฟอร์ริติน (ferritin) และไฮเดอเรน (hemosiderin) ความเข้มข้นของเหล็กในร่างกาย

ในผู้ชายประมาณ 50 มิลลิกรัม/กิโลกรัมของน้ำหนักตัว ในผู้หญิงประมาณ 40 มิลลิกรัม/กิโลกรัม ของน้ำหนักตัว ประมาณร้อยละ 70 ของเหล็กทั้งหมดอยู่ในเม็ดเลือดแดง ในน้ำเลือด (Plasma) จะมีชาตุเหล็กอยู่เล็กน้อยคือ ประมาณ 3 มิลลิกรัม เหล็กร้อยละ 26 จะเก็บในรูปของ เฟอร์ริติน (ferritin) และหรือ เอโนซิเดอริน (hemosiderin) โดย ตับ ม้าม และ ไขกระดูก เพื่อไว้สำหรับสร้างเอนไซมิเดอรินของเม็ดเลือดแดงในยานที่ร่างกายต้องการ เหล็กร้อยละ 3 อยู่ในกล้ามเนื้อเหล็กจะเป็นองค์ประกอบของสารที่เรียกว่าไมโอกลوبิน (myoglobin) ส่วนที่เหลืออยู่ในน้ำย่อยหลายชนิด ที่มีอยู่ในเซลล์เหล็กที่พบในเลือดเป็นเหล็กในสภาพบนส่วนที่เรียกว่า ทราบสเฟอร์ริน (transferrin) ที่จะส่งเหล็กจากเนื้อเยื่อหนึ่งไปยังอีกเนื้อเยื่อหนึ่ง [9, 10]

2.4.2 การดูดซึมเหล็ก (iron absorption)

การดูดซึมเหล็กนั้นพบว่ามีการเริ่มต้นของการดูดซึมที่ลำไส้เล็กส่วนดูดซึม (duodenum) โดยเหล็กที่มีอยู่ในอาหารจะอยู่ในรูปของเฟอร์ริก (ferric, Fe^{3+}) ซึ่งจะจับอยู่กับโมเลกุลของสารอินทรี (organic) และสารอนินทรี (inorganic) รวมเป็นสารประกอบเชิงช้อน กรดในกระเพาะอาหารเป็นตัวช่วยให้เหล็กเหล่านี้หลุดออกจากโมเลกุลของสารประกอบเชิงช้อน และเปลี่ยน Fe^{3+} เป็น Fe^{2+} ให้สามารถดูดซึมผ่านผนังลำไส้เล็กได้ดีกว่า นอกจากนี้ยังพบว่าการดูดซึมเหล็กจะเพิ่มมากขึ้นถ้ามีสารชีวโมเลกุล เช่น กลูโคส (glucose) ฟรุกโตส (fructose) กรดอะมิโน (amino acid) บางตัว และ วิตามินซี (ascorbic acid) โดยสารเหล่านี้มีผลต่อกระบวนการดูดซึมโดยจะทำการเปลี่ยนเฟอร์ริกไอออน (Fe^{3+}) ให้เป็นเฟอร์รัสไอออน (Fe^{2+}) ทำให้มีการดูดซึมได้ดีขึ้น หรือ สารเหล่านี้จะช่วยให้มีการจับของเหล็กที่บริเวณตัวรับที่เซลล์ผนังลำไส้เล็ก (mucosal cell receptor) Fe^{2+} สามารถผ่านเข้าสู่เซลล์ได้โดยการใช้พลังงาน (energy dependent process)

2.4.3 เมตาบอติซึมของเหล็ก (iron metabolism)

เหล็กที่ร่างกายนำมาใช้ได้มาจากการแหล่งภายใน (endogenous source) คือจากการสลายตัวของไฮโมโกลบินและสารประกอบอื่นๆ รวมทั้งที่ร่างกายสะสมเอาไว้อีกทางหนึ่ง และจากการแหล่งภายนอกร่างกาย (exogenous source) จากอาหารที่รับประทานเข้าไปอีกทางหนึ่งประมาณ 10% ของเหล็กในอาหารดูดซึมบริเวณลำไส้เล็กส่วนดูดซึม เหล็กในอาหารอยู่ในรูปของ Fe^{3+} จะถูกเปลี่ยนให้เป็น Fe^{2+} สามารถถูกดูดซึมได้ด้วยกรดในกระเพาะอาหาร เมื่อเข้าสู่เซลล์ผนังลำไส้เล็กจะถูกออกซิไดซ์ (oxidize) กลับไปเป็น Fe^{3+} โดยเอนไซม์ ferroxidase (ceruloplasmin) ดังสมการที่ 3



ในภาวะปกติ ร่างกายจะดูดซึมเหล็กประมาณ 1 มิลลิกรัม/วัน ส่วนหนึ่งจะถูกส่งไปจับกับอะพอเฟอร์ริติน (apoferritin) เป็นเฟอร์ริติน (ferritin) สะสมที่เซลล์บุผนังลำไส้ที่เหลือจะถูกรีดิวช์ (reduce) เป็น Fe²⁺ เข้าสู่กระсталอหิตรรวมกับอะพอทรานส์เฟอร์ริน (apotransferrin) เมื่อ r ร่างกายขาดเหล็ก เหล็กจะถูกดูดซึมจากทางเดินอาหารเพิ่มขึ้นและเหล็กส่วนใหญ่จะไปจับกับอะพอทรานส์เฟอร์รินในกระсталอหิตร ในภาวะที่มีเหล็กเกินเหล็กจะถูกสะสมในรูปเฟอร์ริตินที่เซลล์บุผนังลำไส้เพิ่มขึ้นและถูกส่งไปยังอะพอทรานส์เฟอร์รินลดลง เหล็กในเซลล์บุผนังลำไส้จะถูกขับออกจากร่างกายเมื่อเซลล์ตายหรือมีการหลุดลอกออกที่ไกระถูกและตับ Fe³⁺ ที่จับอยู่กับทรานส์เฟอร์รินจะถูกส่งต่อไปยังอะพอเฟอร์ริตินเก็บสะสมไว้ในรูปเฟอร์ริตินที่ระบบเรติคูลโอลเอนโดทิลลิก (reticuloendothelial system) ถ้าได้รับเหล็กมากจนเกินความจุของเฟอร์ริตินเหล็กจะสะสมในรูปเอมิไซเดอร์น ซึ่งจะประกอบด้วยเหล็กมากกว่าและเป็นอนุภาคที่ข้อมติดสี (iron staining particles) สามารถตรวจสอบด้วยกล้องจุลทรรศน์ เหล็กในเอมิไซเดอร์นนำไปใช้สร้างไฮโลบินได้ แต่การนำเหล็กจากเอมิไซเดอร์นออกมายังใหม่ ทำได้ยากกว่าเหล็กที่อยู่ในรูปของเฟอร์ริติน

2.5 โรคโลหิตจางชาลัสซีเมียและภาวะเหล็กเกินในกล้ามเนื้อหัวใจ

โรคโลหิตจางชาลัสซีเมีย (Thalassemia) เป็นภาวะที่เกิดจากความผิดปกติในการสังเคราะห์สีฟ้าโกลบินซึ่งเป็นโครงสร้างของเม็ดเลือดแดง โดยการสังเคราะห์สีฟ้าโกลบินแล็ปฟ้า หรือเบต้าลอดลงหรือไม่สร้างขึ้น ทำให้สีฟ้าโกลบินขาดคู่ ส่งผลให้มีเม็ดเลือดแดงไม่สามารถทำหน้าที่ในการขนส่งออกซิเจนได้เหมือนคนปกติ เม็ดเลือดแดงมีลักษณะผิดปกติ และแตกง่าย ก่อให้เกิดภาวะซีด โลหิตจางเรื้อรัง และมีภาวะแทรกซ้อนอื่นๆ การรักษาโรคโลหิตจางเบต้าชาลัสซีเมียในปัจจุบันคือการให้เลือด เรียกผู้ป่วยกลุ่มนี้ว่า transfusion dependent thalassemia [11, 12] การให้เลือดอย่างต่อเนื่องเป็นเวลากว่า 20 ปี ทำให้เกิดภาวะเหล็กสะสมในร่างกายที่เรียกว่า secondary hemochromatosis โดยที่ร่างกายจะไม่สามารถกำจัดเหล็กส่วนเกินออกจากร่างกายได้ เม็ดเลือดแดง 1 มิลลิลิตร มีธาตุเหล็ก 1.16 มิลลิกรัม (hemoglobin 1 กรัมมีธาตุเหล็ก 3.4 มิลลิกรัม) ถ้าผู้ป่วยน้ำหนัก 50 กิโลกรัม จะได้รับเม็ดเลือดแดงเข้มข้น (red cell: RC) 9,300 มิลลิลิตร/ปี จะได้รับเม็ดเลือดแดง 6,500 มิลลิลิตร ซึ่งมีธาตุเหล็ก 7.54 กรัม จะเริ่มมีภาวะเหล็กเกินในร่างกายหลังจากได้รับเม็ดเลือดแดงเข้มข้น 20 ยูนิตขึ้นไป [13] ในภาวะปกติเหล็กจะจับอยู่กับโมเลกุลที่เรียกว่าทรานส์เฟอร์ริน (transferrin) อย่างหนาแน่นแต่ในภาวะเหล็กเกินจะมีเหล็กอิสระที่เรียกว่า non trans ferrin bound iron (NTBI) อนุมูลของเหล็กจะเข้าไปมีส่วนร่วมในปฏิกิริยาที่ทำให้เกิดอนุมูลอิสระ (free oxygen radicals) ทำให้เกิดพยาธิสภาพต่างๆ ตามมาในระยะแรกของธาตุเหล็กที่เกินจะออกจากระบบเรติคูลโอลเอนโดทิลลิก (reticuloendothelial system) ไปสะสมตามอวัยวะต่างๆ

โดย เลพาะตับพบว่ามีการเปลี่ยนแปลงของ collagen formation และเกิดพังผืดที่ตับ (hepatic fibrosis) [14] หัวใจเป็นอีกอวัยวะหนึ่งที่ได้รับผลกระทบจากเหล็กเกิน จะพบการเต้นของหัวใจผิดปกติ (arrhythmia) และหัวใจล้มเหลว (heart failure) เป็นสาเหตุการตายอันดับหนึ่งของชาลัสซีเมียเมเจอร์ สำหรับกลไกและวิธีการขันส่งเหล็กไปสะสมในกล้ามเนื้อหัวใจยังไม่ทราบชัดเจนจากการศึกษาที่ผ่านมากกลไกและวิธีการขันส่งเหล็กมี 4 ช่องทางหลัก คือ ช่องทาง L-type Ca^{2+} (LTCC), Divalent Metal Transporter1 (DMT1), Transferrin Receptor (TfR) และ Zinc Transporter14 (Zip14) [15, 16]

2.6 วิธีการประเมินภาวะเหล็กเกินในกล้ามเนื้อหัวใจ

การประเมินภาวะเหล็กเกินในกล้ามเนื้อหัวใจมือญ 4 วิธีหลัก คือ

1. ตรวจเลือดครูระดับซีรัมเฟอร์ริติน (Serum ferritin) เป็นวิธีตรวจที่ง่ายสะดวกใช้กันแพร่หลาย แต่ค่าที่ได้จากการตรวจครั้งเดียวจะไม่แม่นยำ [17] เนื่องจากบางภาวะ เช่น การติดเชื้อ (infection) ภาวะตับอักเสบ (hepatitis) จะทำให้ซีรัมเฟอร์ริตินมีค่าสูง ดังนั้นจึงจำเป็นต้องใช้ตรวจเป็นการติดตามระยะยาวหรือใช้ติดตามผลการรักษาด้วยยาขับชาตุเหล็ก โดยตั้งเป้าไว้ที่น้อยกว่าหรือเท่ากับ 1,000 มิลลิกรัม/เดซิลิตร ผู้ป่วยที่มีค่าซีรัมเฟอร์ริติน ที่มากกว่า 2,500 นาโนกรัม/เดซิลิตร มีอัตราเสี่ยงสูงที่จะเกิดโรคหัวใจและเป็นตัวพยากรณ์ว่าอัตราอุดชีวิตมีน้อย
2. เจาะชิ้นเนื้อหัวใจโดยตรง (Biopsy) [18] และนำชิ้นเนื้อไปประเมินหาปริมาณเหล็กด้วยวิธี atomic absorption spectrometry ค่าที่วัดได้เป็นมิลลิกรัมของชาตุเหล็กต่อหน่วยนักชิ้นเนื้อแห้ง (mg Fe/g dry weight) แต่เทคนิคดังกล่าวมีความเสี่ยงสูง และอาจสัมภาระชิ้นเนื้อหัวใจ รวมไปถึงการกระจายของเหล็กในกล้ามเนื้อหัวใจไม่สม่ำเสมอ [19-21]
3. Left Ventricular Ejection Fraction (LVEF) เป็นค่าที่บ่งชี้ถึงหน้าที่การทำงานของหัวใจ ใช้เครื่องมือตรวจหัวใจด้วยคลื่นเสียงความถี่สูง (echocardiography) และเครื่องอัลตราซาวด์ โดยผู้ป่วยที่มีชาตุเหล็กสะสมในกล้ามเนื้อหัวใจเกินจะมีค่า LVEF ลดลง [7, 22] แต่ต้องย่างไรก็ตามค่า LVEF จะแสดงความผิดปกติเมื่อมีปริมาณเหล็กสะสมในกล้ามเนื้อหัวใจในระดับที่สูงมากแล้ว [5] ดังนั้นจึงไม่สามารถนำมาประเมินปริมาณเหล็กที่สะสมในระบบตันได้
4. T2* magnetic resonance [5, 23, 24] เป็นการตรวจหาปริมาณชาตุเหล็กทางอ้อมด้วยเครื่องอัลตราซาวด์ เป็นเทคนิคที่มีความปลอดภัยสูง ถึงแม้ว่าเทคนิค T2* magnetic resonance จะได้รับการยอมรับและถูกนำมาใช้แต่ปัจจุบันเรื่องความถูกต้อง

(accuracy) และความเที่ยงตรง (reproducibility) ของค่า T2* ที่วัดได้ยังเป็นสิ่งที่ต้องได้รับการปรับปรุงแก้ไขอย่างต่อเนื่อง

2.7 วิธีการประเมินภาวะเหล็กเกินในกล้ามเนื้อหัวใจด้วยเทคนิค T2* magnetic resonance

ได้มีการนำเทคนิคการวัดค่า T2 magnetic resonance มาใช้ประเมินปริมาณเหล็กที่สะสมในเนื้อเยื่อตับ (liver) [25, 26] ตับอ่อน (pancreas) และม้าม (spleen) [27] เก็บสัญญาณในการสร้างภาพตามช่วงจังหวะการหายใจซึ่งจะใช้ Respiratory triggering เป็นตัวจับจังหวะการหายใจ เพื่อช่วยลดปัญหาสัญญาณรบกวนที่เกิดจากการหายใจ (Motion artifacts) แต่เนื่องด้วยการวัดค่า T2 magnetic resonance ต้องใช้ลำดับพัลส์แบบส핀อโค (spin echo pulse sequence) ใน การสร้างภาพ จึงมีข้อจำกัดคือ Echo time (TE) นานเกินไปทำให้สัญญาณของเนื้อเยื่อบริเวณที่มีเหล็กสะสมมากมีความเข้มของสัญญาณเท่ากับความเข้มของสัญญาณพื้นหลังของภาพ และใช้เวลาในการเก็บสัญญาณเพื่อสร้างภาพนาน รวมไปถึงปัญหาสัญญาณรบกวนที่เกิดจากการเดินของหัวใจ (motion artifacts) การไหลของเลือด (flow artifacts) [28, 29] ต่อมา Anderson LJ. และคณะ [5] ได้ศึกษาการวัดปริมาณเหล็กที่สะสมในตับและกล้ามเนื้อหัวใจ โดยใช้เทคนิค T2* magnetic resonance ค่า T2* ได้มาจาก การสร้างภาพด้วยลำดับพัลส์แบบเกรเดียนท์อโค (Gradient Recall Echo, GRE) โดยจะทำการสร้างภาพที่ค่าเวลาสะท้อนของสัญญาณ (Echo Time, TE) ต่าง ๆ กันแล้วนำความเข้มของสัญญาณภาพ (Signal Intensity, SI) ที่ได้มาพล็อตกราฟคู่กับ TE ซึ่งความเข้มของสัญญาณภาพจะลดลงแบบฟังก์ชันเอกซ์โพเนนเชียล (Exponential Function) ตาม TE ที่เพิ่มขึ้น ข้อดีของลำดับพัลส์แบบเกรเดียนท์อโค คือ ลดเวลาในการสร้างภาพ และ ไวยต่อการเปลี่ยนแปลงของสารนามแม่เหล็กหลัก ที่เกิดจากการตอบสนองของอิเล็กตรอนภายในวัตถุหรือเนื้อเยื่อของสารประเภทพาราเมกнетิกซึ่งต่อสารนามแม่เหล็กหลัก (electron susceptibility) หลายการศึกษาได้อ้างอิงค่า T2* ที่ต่ำกว่า 20 มิลลิวินาที เป็นตัวบ่งชี้ว่ามีภาวะเหล็กเกินในกล้ามเนื้อหัวใจ [24, 30-34] และมีภาวะเหล็กเกินรุนแรงเมื่อค่า T2* ต่ำกว่า 10 มิลลิวินาที [5, 35] ได้มีการศึกษาความถูกต้องของเทคนิค T2* ที่ใช้สำหรับประเมินปริมาณเหล็กในกล้ามเนื้อหัวใจ โดยการสอบเทียบค่า T2* จากศูนย์การศึกษาหลายแห่งซึ่งใช้เครื่อง MRI ต่างยี่ห้อกันในอาสาสมัครที่เป็นผู้ป่วยชาลัสซีเมียที่มีภาวะเหล็กเกินกลุ่มเดียวกัน [34, 36, 37]

การวัดค่า T2* ในกล้ามเนื้อหัวใจเพื่อประเมินภาวะเหล็กเกินเป็นเรื่องที่มีความท้าทายเป็นอย่างมาก เพราะมีหลายปัจจัยที่ส่งผลต่อกุณภาพของภาพเอ็มอาร์ของหัวใจ เช่น การเดินของหัวใจ การไหลของเลือด ความไม่สม่ำเสมอของสารนามแม่เหล็กภายในตัวผู้ป่วย รวมไปถึงความสามารถในการกลืนหายใจของผู้ป่วย การคำนวณค่า T2* จากการสร้างภาพด้วยลำดับพัลส์แบบเกรเดียนท์อโค

โภแบบไม่ก่อสัญญาณเลือด (bright-blood T2*) [24] ถึงแม้จะให้ค่า T2* ที่มีความสัมพันธ์กับอาการทางคลินิกและเทคนิค มีความสามารถในการให้ค่าที่เหมือนเดิม (reproducibility) สูง แต่ก็ยังมีปัญหาจากสัญญาณของเลือดปนกับสัญญาณของกล้ามเนื้อหัวใจบริเวณขอน ทำให้การวัดตำแหน่ง ROI ทำได้ยาก ได้มีการพัฒนาเทคนิคก่อสัญญาณเลือด (black-blood T2*) [38] เพื่อลดปัญหาดังกล่าว โดยทำการกระตุ้นแมgnetiization (magnetization) ของเลือดให้หายไปก่อน (double inversion recovery) แล้วค่อยยกกระตุ้นเนื้อเยื่อกล้ามเนื้อหัวใจเพื่อเก็บสัญญาณสร้างภาพช่วยลดสัญญาณรบกวนจากสัญญาณเลือด (blood signal) และ การไหลของเลือด (blood flow) และเพิ่มรายละเอียดของขอนกล้ามเนื้อหัวใจ จากการศึกษาที่ผ่านมาพบว่าการสร้างภาพอิมาร์ของหัวใจในช่วง late diastole จะได้ภาพที่มีคุณภาพดีกว่า early systole [38, 39] สำหรับปัญหา susceptibility ที่เกิดจากตัวผู้ป่วยสามารถลดได้โดยทำการวัด ROI บริเวณผนังกึ่งกลางหัวใจห้องล่างซ้าย (left mid ventricular septum) บนภาพที่ตัดตามระนาบแนววางของแกนหัวใจ (short axis)

นอกจากคุณภาพของภาพอิมาร์ที่มีผลต่อการวัดค่า T2* วิธีการฟิตกราฟ (curve fitting) ก็ส่งผลต่อค่า T2* ด้วยเช่นกัน [39, 40] รูปแบบฟิตกราฟที่ถูกนำมาคำนวณหาค่า T2* คือ mono-exponential, truncation ดังสมการที่ (4) และ offset ดังสมการที่ (5) ทำการเชื่อมต่อจุดบนกราฟ (interpolate) แบบ non-linear (Levenberg-Marquardt) [19, 24, 38, 41]

$$S(TE_i) = S_0 e^{-(TE_i/T2^*)} \quad (4)$$

$$S(TE_i) = S_0 e^{-(TE_i/T2^*)} + C \quad (5)$$

$S(TE_i)$ คือ ความเข้มของสัญญาณภาพ (Image Signal Intensity) ที่เวลา TE ใด ๆ

S_0 คือ ค่าคงที่ หรือ ความเข้มของสัญญาณภาพที่เวลา TE=0

TE_i คือ ช่วงเวลาที่ทำการกระตุ้นจนเกิดเอคโคที่ i ได ๆ (Echo Time, มิลลิวินาที)

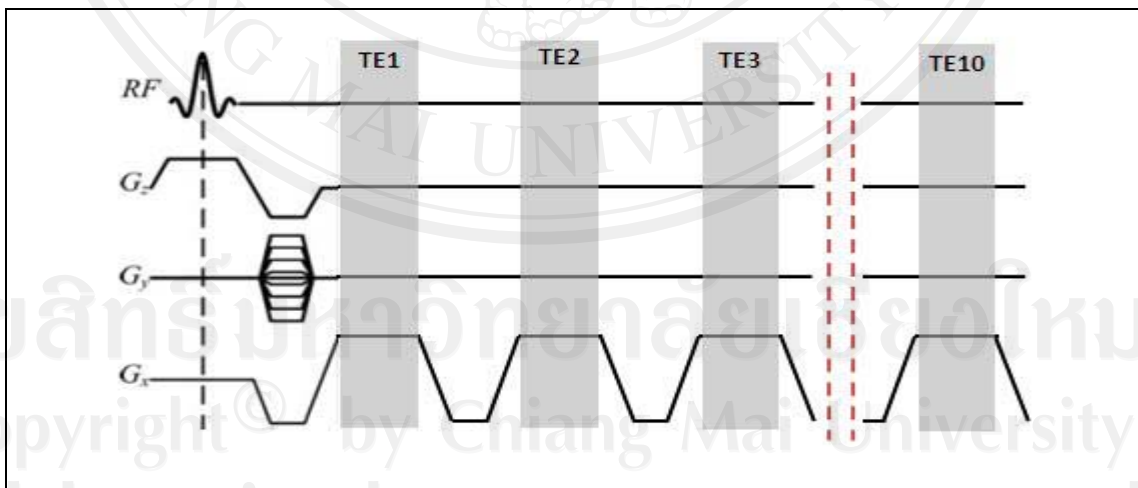
$T2^*$ คือ ช่วงเวลาผ่อนคลายเนื้อเยื่อ (Relaxation time, มิลลิวินาที)

C คือ ค่าคงที่ (Constant) ที่ชดเชยสัญญาณรบกวน (noise) ที่เกิดขึ้นบนภาพ

การฟิตกราฟด้วยรูปแบบ (model) ทั้งสาม จำกัดจากภาพชุดเดียวกันแล้ว ให้ค่า T2* ที่แตกต่างกัน หลายการศึกษาเชื่อว่าเกิดจากสัญญาณรบกวน (noise) ที่เกิดขึ้นบนภาพ [19, 39] จากการศึกษาในหัวใจผู้ป่วยที่เสียชีวิต [19] โดยการเพิ่มจำนวนครั้งของการเก็บสัญญาณแล้วหาค่าเฉลี่ย (number of signals averaged, NSA) พบร่วมค่า T2* ที่ได้จากการฟิตกราฟด้วยรูปแบบทั้งสาม ไม่แตกต่าง

กัน ดังนั้นการลดสัญญาณรบกวน (noise) ลงให้มากที่สุดจะช่วยลดความคลาดเคลื่อนในการคำนวณค่า $T2^*$ ให้มีความถูกต้องมากขึ้น อย่างไรก็ตามการเพิ่มจำนวน NSA เป็นข้อจำกัดของการเก็บสัญญาณที่ใช้ร่วมกับการกลืนหายใจ แต่การเก็บสัญญาณแบบไม่ต้องกลืนหายใจ โดยใช้ร่วมกับเทคนิค Navigator ทำให้สามารถเพิ่มจำนวน NSA ได้ตามต้องการ เพราะไม่มีข้อจำกัดเรื่องเวลา เทคนิคนี้โดยทั่วไปจะใช้ในการตรวจหัวใจและหลอดเลือดของหัวใจ [42-44] เพื่อลดสัญญาณรบกวนและเพิ่มรายละเอียดของภาพ (high resolution) Navigator [45] เป็นพัลส์คลื่นความถี่วิทยุก่อนการกระตุ้นเพื่อเก็บสัญญาณภาพ (radio frequency pre-pulse, RF) ที่ใช้กระตุ้นแม่กนไฟฟ้าเช่น (magnetization) ของไอโอดีเจนเพื่อสร้างภาพและแสดงผลตามเวลาจริง (real time)

งานวิจัยนี้เป็นการศึกษาเพื่อเปรียบเทียบ ความสามารถในการให้ค่า $T2^*$ ที่เหมือนเดิม (Reproducibility) จากเทคนิคการเก็บสัญญาณเพื่อสร้างภาพแบบกลืนหายใจครั้งเดียว (Black blood GRE multi-echo single breath hold) และ เทคนิคการเก็บสัญญาณเพื่อสร้างภาพแบบไม่ต้องกลืนหายใจ (Free Breathing (Navigator) Black blood GRE multi-echo) ผังภาพแสดงการทำงานของลำดับพัลส์ตามเวลา (timing diagram) ของทั้งสองเทคนิคดังแสดงในรูปที่ 7 ทำการศึกษาในอาสาสมัครที่เป็นบีต้าชาลสซิเมียมเจอร์ที่มีภาวะเหล็กเกินและศึกษาความสัมพันธ์ระหว่างปริมาณเหล็กในหุ่นจำลองกับค่า $T2^*$ จากการเก็บสัญญาณเพื่อสร้างภาพจากสองข้างต้นทำการวิเคราะห์ข้อมูลเพื่อหาค่า $T2^*$ ด้วยรูปแบบ mono-exponential, truncation และ offset



รูปที่ 7 ผังภาพแสดงการทำงานของลำดับพัลส์ตามเวลา (timing diagram) ของลำดับพัลส์กรีเดียนท์มัลติอคโอด (GRE multi-echoes) เก็บสัญญาณเพื่อสร้างภาพจำนวน 10 Echo time